

《報文》 HWAHAK KONGHAK Vol. 19, No. 2, April 1981, pp. 95—106
 (Journal of the Korean Institute of Chemical Engineers)

크로마토 그라프法에 依한 Molecular Sieves

吸着 充填層의 파라메터 算出

李 東 日 · 柳 華 元

全南大學校 工科大學 化學工學科

(접수 1981. 3. 10)

Chromatographic Parameter Estimation of Adsorption Packed Column with Molecular Sieves

Dong Il Lee and Hwa Won Ryu

Department of Chemical Engineering,
 College of Engineering, Chonnam National University, Kwang-Ju 500, Korea

(Received March 10, 1981)

要 約

Molecular sieves(MS) 3A, 5A, 및 13X의 充填層流通系(層流域)에서 20°C 下의 질소 吸着에 對한 파라메터들을 求하기 為하여 時間域 解析을 하였다. 파라메터 中 軸方向分散係數와 總括有効擴散係數는 誤差圖表에서 求하였다.

MS 3A, 5A, 및 13X의 $\rho_p K_A$ 는 각각 0.08, 11.22, 2.32로서 3A에는 질소가 거의 吸着하지 않았다. α 는 모두 0.27~0.33 범위이고 D_e 는 5A 및 13X에서 0.006~0.008 cm²/sec의 값을 얻었으나 3A에서는 비교적 넓은 범위의 값인 0.004~0.01 cm²/sec를 얻었다.

한편 從來의 모멘트法에 依하여 역시 파라메트들을 求하고 時間域 解析에 依한 値들과 比較하였다. 1次 모멘트에서 求한 $\rho_p K_A$ 는 時間域 解析의 値들과 相互 類似한 値를 가졌으나 2次 모멘트에서 算出된 α 와 D_e 는 두 方法 사이에 약간의 差異가 있었다.

ABSTRACT

The parameters are determined by time domain analyses for flow system(laminar region)

of nitrogen adsorption on molecular sieves (MS) 3A, 5A, and 13X in a packed column at 20°C. Among the parameters, axial dispersion coefficients and overall effective diffusivities are determined from error maps.

The $\rho_p K_A$ values obtained for MS 3A, 5A, and 13X are 0.08, 11.22, and 2.32, respectively, and show that nitrogen hardly adsorbs on 3A. The values of α are all in the range of 0.27 ~ 0.33, and the D_e values of both 5A and 13X are 0.006 ~ 0.008 cm²/sec; but the D_e value of 3 A has a rather wide range of 0.004 ~ 0.01 cm²/sec.

The parameters are also evaluated by usual moment method and compared with those from the time domain analyses. $\rho_p K_A$ values obtained from the first order moments are similar to those from the time domain analyses, but α and D_e values from second order moments show a little difference between the two methods.

1. 序 論

流通系의 가스吸着充填層에서吸着系의速度因子算出에는 펠스-가스크로마토그라프法이 널리應用되어 왔다. 가스吸着系의 파라메터로서는 軸方向氣體分散係數, 粒子-가스間物質移動係數, 粒內有効擴散係數, 吸着速度常數 및 吸着平衡常數의 다섯因子로 나눌 수 있으며 大部分 모멘트法^{1~7)}에 依하여 求하여져 왔다. 그러나 最近 Wakao⁸⁾等은 高次 모멘트는 誤差를 많이 包含하고 있으므로 正確한 結果가 얻어질 수 없음을 指摘하고 Fourier 級數 展開에 依한 時間域 解析法(또는 時間域 fitting法)으로 파라메터들의 값을 求하고 있다.

本論文에서는 2元細孔系인 Molecular sieves 3A, 5A 및 13X의 질소-헬륨吸着系에서 實驗으로 얻은 應答濃度曲線을 時間域 解析함으로써吸着充填層의 파라메터들을 求하고 한편으로同一한吸着系에對하여 모멘트法으로求한結果와相互比較検討하고자 한다.

2. 理 論

2元細孔構造를 갖는 粒子의吸着系에對한 펠스應答解는 두가지 모델^{4,9)} 즉, 마크로細孔과 마이크로細孔 모두氣狀擴散인 경우와 마크로細

孔은氣狀擴散이면서 마이크로細孔은表面擴散인 경우에對하여 각각 얻어지고 있으나工學的見地에서 2元細孔系를 1元細孔系로看하여總括有効擴散係數(D_e)를導入함으로써 다음과 같이式을 전개할 수 있다.

가스吸着에 있어서球形粒子充填層의被吸着質에關한物質收支는 다음과 같다.

粒內 :

$$\varepsilon_p \frac{\partial c_i}{\partial t} = D_e \left(\frac{\partial^2 c_i}{\partial r^2} + \frac{2}{r} \frac{\partial c_i}{\partial r} \right) - \rho_p \frac{\partial c_a}{\partial t} \quad (1)$$

可逆1次吸着系에서吸着速度는

$$\frac{\partial c_a}{\partial t} = k_a \left(c_i - \frac{c_a}{K_A} \right) \quad (2)$$

充填層內 :

$$\frac{\partial C}{\partial t} = D_{ax} \left(\frac{\partial^2 C}{\partial x^2} \right) - U \frac{\partial C}{\partial x} - \frac{3}{R} \frac{1 - \varepsilon_b}{\varepsilon_b} N \quad (3)$$

$$N = D_e \left(\frac{\partial c_i}{\partial r} \right)_R = k_f (C - (c_i)_R) \quad (4)$$

初期 및 境界條件은

$$C = c_i = 0, c_a = 0 \quad at \quad t = 0$$

$$\frac{\partial c_i}{\partial r} = 0 \quad at \quad r = 0$$

實驗裝置의檢出器가插入된空間의높이는 0.7 cm로서 이길이를 $2L_D$ 라두고試驗部(test bed)의높이를 L 이라고하면空間部分(즉 $0 < x < L_D$ 및 $L + L_D < x < L + 3L_D$)단, x 는入口側

檢出器(Detector I) 插入空間 中心部로부터 軸 方向거리에 對한 物質收支는

$$\frac{\partial C_D}{\partial t} = D_v \frac{\partial^2 C_D}{\partial x^2} - u \frac{\partial C_D}{\partial x} \quad (5)$$

初期 및 境界條件은

$$\begin{aligned} C_D &= 0 & at \ t = 0 \\ C_D &= C & at \ x = L_D, L + L_D, \\ D_v \frac{\partial C_D}{\partial x} &= \varepsilon_b D_{ax} \frac{\partial C}{\partial x} \end{aligned} \quad \left. \begin{aligned} & at \ x = L, L + 2L_D, \\ & \text{and } L + 3L_D \end{aligned} \right\}$$

式 (1)~(5)를 풀면 入口濃度 $C_I (= C_D \text{ at } x = 0)$ 와 出口濃度 $C_I (= C_D \text{ at } x = L + 2L_D)$ 間의 傳達函數는 다음과 같아 된다.¹⁰⁾

$$\begin{aligned} F(s) &= \frac{\int_0^\infty C_{I,\exp} e^{-st} dt \int_0^\infty C_{I,\exp} dt}{\int_0^\infty C_{I,\exp} e^{-st} dt \int_0^\infty C_{I,\exp} dt} \\ &= \frac{\alpha(L_D/L)}{(\delta + \gamma \exp(-\sigma_D))^2 (\delta - \gamma \exp(-\sigma_D)) - \delta \gamma} \times \frac{\sigma_D \sigma_B (\delta + \gamma \exp(-\sigma_D)) \exp(\lambda_B + 2\lambda_D)}{\times (1 - \exp(-2\sigma_D)) (\gamma + \delta \exp(-\sigma_D))} \\ &\quad \times \exp(-\sigma_B) \end{aligned} \quad (6)$$

여기서

$$\alpha = \frac{\varepsilon_b D_{ax}}{D_v}, \quad \gamma = \frac{1}{2} \left(\sigma_D - \alpha \sigma_B \frac{L_D}{L} \right)$$

$$\delta = \frac{1}{2} \left(\sigma_D + \alpha \sigma_B \frac{L_D}{L} \right)$$

$$\lambda_D = \frac{1}{2} \left(\frac{u L_D}{D_v} - \sigma_D \right)$$

$$\lambda_B = \frac{1}{2} \left(\frac{u L}{D_{ax}} - \sigma_B \right)$$

$$\sigma_D = \frac{u L_D}{D_v} \left(1 + \frac{4 D_v}{u^2} s \right)^{1/2}$$

$$\sigma_B = \frac{U L}{D_{ax}} \left(1 + \frac{4 D_{ax}}{U^2} (s + q(s)) \right)^{1/2}$$

$$q(s) = \frac{3(1 - \varepsilon_b)}{\varepsilon_b} \frac{D_e}{R^2}$$

$$\times \frac{1}{\frac{D_e}{R k_f} + \frac{1}{R \sqrt{\lambda} \coth(R \sqrt{\lambda}) - 1}}$$

$$\lambda = \frac{s \varepsilon_p}{D_e} \left(\frac{\rho_p}{\varepsilon_p} - \frac{k_a K_A}{K_A s + k_a} + 1 \right)$$

2-1. Fourier 解析

吸着가스의 Input濃度($C_{I,\exp}$)에 對한 應答曲線의 時間域 解析을 하기 為하여 Output濃度($C_{I,\exp}$)가 0이 될 수 있는 程度의 充分히 큰 時

間을 週期($= 2T$)로 두고 $C_{I,\exp}$ 와 $C_{I,\exp}$ 를 時間 $0 \sim 2T$ 사이에서 Fourier 級數 展開를 한다.

$$\begin{aligned} C_{I,\exp} &= \frac{a_0}{2} + \sum_{n=1}^{\infty} \left\{ a_n \cos \left(\frac{n\pi t}{T} \right) \right. \\ &\quad \left. + b_n \sin \left(\frac{n\pi t}{T} \right) \right\} \\ C_{I,\exp} &= \frac{a_0^*}{2} + \sum_{n=1}^{\infty} \left\{ a_n^* \cos \left(\frac{n\pi t}{T} \right) \right. \\ &\quad \left. + b_n^* \sin \left(\frac{n\pi t}{T} \right) \right\} \end{aligned} \quad (7)$$

여기서

$$\begin{aligned} a_0 &= \frac{1}{2T} \int_0^{2T} C_{I,\exp} dt \\ a_n &= \frac{1}{T} \int_0^{2T} C_{I,\exp} \cos \left(\frac{n\pi t}{T} \right) dt \\ b_n &= \frac{1}{T} \int_0^{2T} C_{I,\exp} \sin \left(\frac{n\pi t}{T} \right) dt \end{aligned} \quad (8)$$

단, $0 < t < 2T, n = 0, 1, 2, \dots$

또한 a_0^*, a_n^*, b_n^* 에 對하여도 (8)式과 마찬가지의 關係가 成立한다.

그리고 (6)式에서 $s = in\pi/T$ 로 두면 入口濃度曲線의 Fourier 係數와 傳達函數 및 計算에 使用된 出口濃度曲線의 Fourier 係數 사이에는 다음 式을 만족한다.

$$a_n' + ib_n' = (a_n + ib_n) F(in\pi/T) \quad (9)$$

따라서 理論 應答曲線은,

$$\begin{aligned} C_{I,\text{calc}} &= \frac{a_0'}{2} + \sum_{n=1}^{\infty} \left\{ a_n' \cos \left(\frac{n\pi t}{T} \right) \right. \\ &\quad \left. + b_n' \sin \left(\frac{n\pi t}{T} \right) \right\} \end{aligned} \quad (10)$$

(단, $0 < t < 2T$)

으로 求할 수 있다.

實測의 應答曲線 $C_{I,\exp}$ 와 理論應答曲線 $C_{I,\text{calc}}$ 와의 2乘平均誤差는 式(7)과 (10)의 Fourier 係數로서 計算된다.

$$\begin{aligned} \text{Error} &= \left[\int_0^\infty \{C_{I,\exp} - C_{I,\text{calc}}\}^2 dt / \int_0^\infty \{C_{I,\exp}\}^2 dt \right]^{1/2} \\ &= \frac{\left[2(a_0^*/2 - a_0'/2)^2 + \sum_{n=1}^{\infty} \{(a_n^* - a_n')^2\} \right]}{2(a_0^*/2)^2 + \sum_{n=1}^{\infty} \{(a_n^*)^2\}} \\ &\quad \left. + \frac{(b_n^* - b_n')^2}{+ (b_n^*)^2} \right]^{1/2} \end{aligned} \quad (11)$$

따라서 이 誤差가 最小가 되는 條件下에서 파라
메터들이 決定되어진다. 實際 計算에서 週期 $2T$
는 出口 濃度가 0이 되는 時間의 1.5 배가 되도
록充分히 큰 값을 取하였으며 n 은 50~100 程
度의 值으로서 (10) 式에서 n 항까지의 합과
($n+1$) 항까지 합의 比가 99.99% 이상이 되도
록 그 값을 定하였다.

2-2. 모멘트法

어떤 吸着充填層 流通系에 벨타 함수의 tracer
를 input 시켰을 때 그 應答曲線의 모멘트는
(1)~(4)式의 Laplace 變換 및 n 次 모멘트와 傳
達函數와의 關係式

$$\mu_n = (-1)^n \lim_{s \rightarrow 0} \frac{d^n \bar{C}(s)}{ds^n} \quad (12)$$

으로부터 1次모멘트는

$$\mu_1 = \frac{L}{U} (1 + \delta_0) \quad (13)$$

단,

$$\delta_0 = \frac{(1 - \varepsilon_b) \varepsilon_p}{\varepsilon_b} \left(1 + \frac{\rho_p K_A}{\varepsilon_p} \right)$$

i) 되고 2次中央모멘트는

$$\mu_2' = \frac{2L}{U} \left[\delta_1 + D_{ax} \frac{(1 + \delta_0)^2}{U^2} \right] \quad (14)$$

단,

$$\delta_1 = \frac{(1 - \varepsilon_b) \varepsilon_p}{\varepsilon_b} \left[\frac{\rho_p K_A^2}{\varepsilon_p k_a} + \frac{R^2 \varepsilon_p}{15} \right. \\ \times \left. \left(1 + \frac{\rho_p K_A}{\varepsilon_p} \right)^2 \left(\frac{1}{D_e} + \frac{5}{k_f R} \right) \right]$$

i) 된다.

그리고 각 모멘트의 實驗值는 定義에 依하여

$$\mu_1 = \frac{\int_0^\infty t C dt}{\int_0^\infty C dt} \quad (15)$$

$$\mu_2' = \frac{\int_0^\infty (t - \mu_1)^2 C dt}{\int_0^\infty C dt} \left(= \frac{\int_0^\infty t^2 C dt}{\int_0^\infty C dt} - \mu_1^2 \right) \quad (16)$$

으로부터 각各 求하여지고 (13) 및 (14)式을 使用하여 $\rho_p K_A$ 는 μ_1 對 L/U 의 plot에서 直線의 기울기로부터 얻어지며 D_{ax} 및 D_e 는 $\mu_2'/2(L/U)$ 對 $1/U^2$ 의 plot에서 直線의 기울기와 절편에서 각各 求하여진다.

Table 1. Physical properties of adsorbents

Molecular sieves	Shape	Average dia., cm	Density, g/cc	Apparent density, g/cc	Void fraction in pellet, %	
					>40Å	total
3 A	spherical	0.20	2.30	1.30	33	52
5 A	spherical	0.20	2.38	1.21	30	51
13 X	spherical	0.20	2.32	1.06	31	55

定하였으며 그 物性值는 Table 1 과 같다.

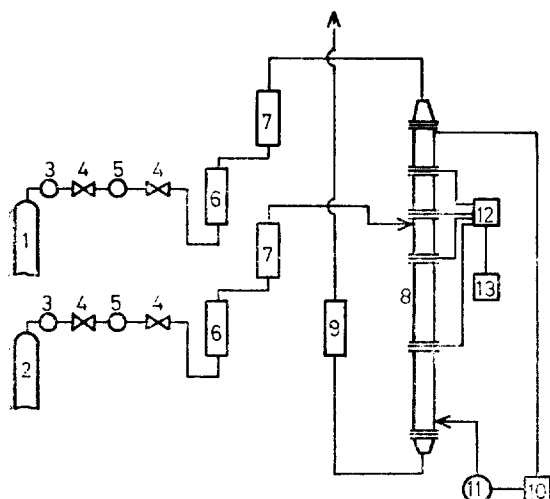
3. 實 驗

3-1. 試 料

9~10 mesh로 選別시킨 Molecular sieves (Davison 製) 3 A, 5 A, 13 X 를 Helium 氣流中 350°C에서 約 3 時間 脫着 精製하였다. 마크로 細孔分布는 水銀壓入法(Aminco 60,000 psi porosimeter)으로, 全氣孔度 및 密比重은 각各 CCl₄ 吸着法과 Helium-air pycnometer로써 測

3-2. 裝置 및 方法

實驗에 使用된 裝置는 Fig. 1 과 같으며 이 中에 컬럼은 Fig. 2 와 같이 內經 2 cm의 銅管으로서 約 10 cm 높이로 유리球를 充填한 靜流部와 20 cm 높이의 molecular sieves가 充填된 試驗部로 되어 있고 試驗部의 兩端에 tungsten filament인 檢出器(detector)가 插入되어 있다. 그리고 컬럼 주위에 恒溫水를 순환시켜 一定 溫



1. He bomb 2. N₂ bomb
 3. Regulator 4. Needle valve
 5. Pressure gauge 6. Silicagel
 7. Rotameter 8. Column
 9. Soap flowmeter 10. Thermostat
 11. Pump 12. Wheatstone bridge
 13. Recorder

Fig. 1. Experimental apparatus

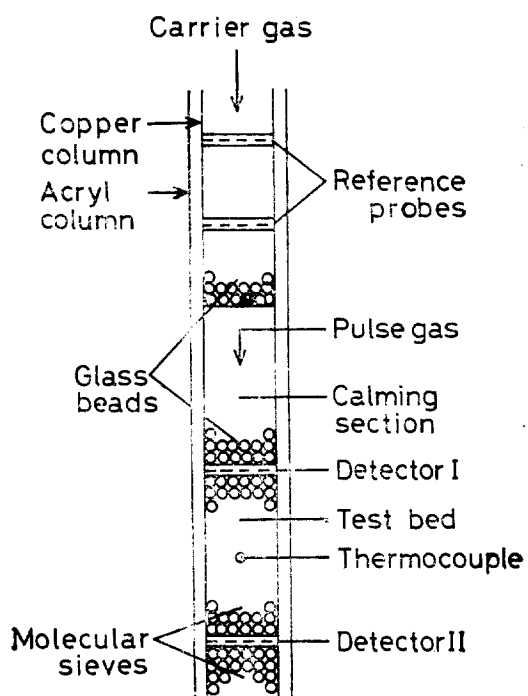


Fig. 2. Adsorption column

度를 유지하도록 하였다.

Fig. 3 은 檢出器(I)의挿入部를 確大하여 나타낸 것으로서 兩아크릴 flange 사이에 철망으로 된 support, packing 고무 및 檢出器가挿入된 아크릴板이 들어 있으며充填物이 없는挿入空間의 높이는 7 mm이다.

Helium carrier gas가 定常 流速으로 되고 檢出部의 回路가 安定되었을 때 導入部에 小量의 N₂를 펄스로 注入하였다.

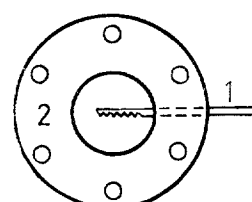
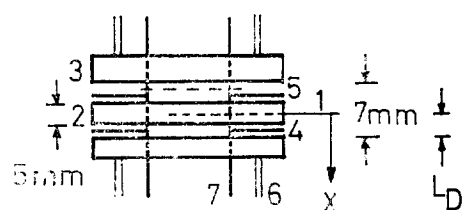
모든 測定은 層流範圍($N_{Re} < 0.5$)에서, 溫度 및 壓力은 각각 20°C 와 大氣壓下에서 行하였다.

4. 結果 및 考察

다섯개의 速度因子 가운데 氣固間의 物質移動系數인 k_f 는 Wakao^等¹¹⁾의 相關式,

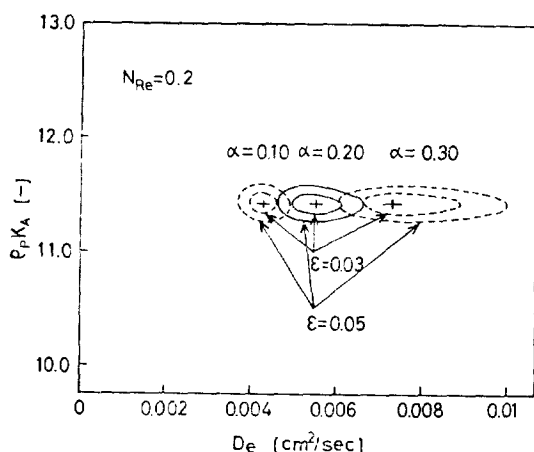
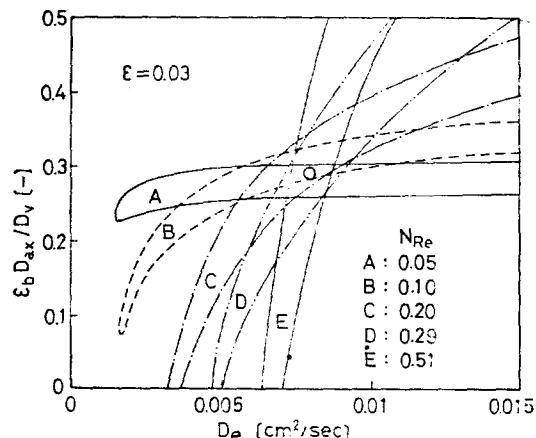
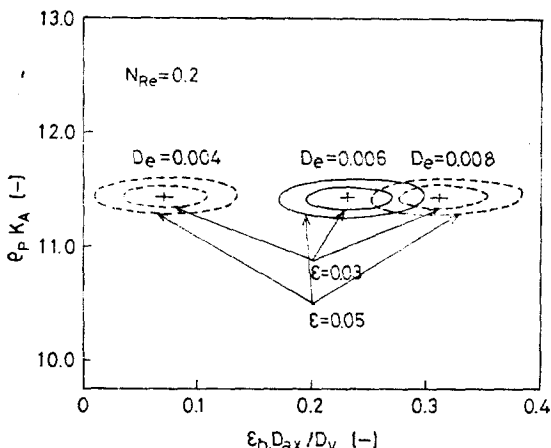
$$N_{Sh} = 2 + 1.1 N_{Sc}^{1/3} N_{Re}^{0.6} \quad (17)$$

으로 計算되고, 吸着速度常數인 k_a 는 物理吸着系에서는 대단히 커서 $k_a = \infty$ 로 들 수 있으므로



1. Detector 2. Acryl plate
 3. Acryl flange 4. Packing rubber
 5. Wire support 6. Acryl tube
 7. Copper column

Fig. 3. Inserting section of detector (I)

Fig. 4. Error map in plot of $\rho_p K_A$ vs. D_e (MS 5A)Fig. 6. Error map in plot of $\varepsilon_b D_{ax}/D_v$ vs. D_e (MS 5A)Fig. 5. Error map in plot of $\rho_p K_A$ vs. $\varepsilon_b D_{ax}/D_v$ (MS 5A)

로^{2, 7, 12, 13, 14)} 實驗結果의 解析으로부터 실제 求하게 되는 파라메터는 吸着平衡常數(K_A), 軸方向氣體分散係數(D_{ax}) 및 粒內 總括有効擴散係數(D_e)이다.

4-1. 吸着平衡常數

파라메터 中에서 應答曲線에 가장 銳敏한 것은 吸着平衡常數이며 이 값의 적은 變化에 對하여 理論應答曲線의 形態는 상당히 變化한다.¹⁵⁾

즉, Fig. 4 와 Fig. 5 는 $\rho_p K_A$ 對 D_e , 및 α ($= \varepsilon_b D_{ax}/D_v$)와의 關係를 (11)式으로 求한 誤差圖表(error map)로서 D_{ax} 나 D_e 값의 變化에

도 불구하고 $\rho_p K_A$ 的 值은 一定하므로 $\rho_p K_A$ 는 D_{ax} 나 D_e 와는 獨立的으로 決定됨을 알 수 있으며 이것은 1次 모멘트인 (13)式에서 예상되는結果와도 一致한다.

α 值은 充填層의 層流域에서 0.5 以下¹⁶⁾로 알려져 있으며 D_e 는 Molecular sieves 4 A, 5 A, 13 X인 경우 $N_2 - H_2$ 系¹⁷⁾ 및 $N_2 - {}^{85}\text{Kr}$ 系¹⁸⁾에 對하여 20~30°C에서 0.08 cm^2/sec 以下이므로 $N_2 - H_2$ 系에서도 대개 이 범위의 值일 것으로 추정하고 α 는 0에서 0.01 增分으로, D_e 는 0에서 0.0001 增分으로 變化시켜 가면서 實測 應答曲線에 fitting 하여 $\rho_p K_A$ 值을 求하였다.

Molecular sieves 3 A, 5 A, 및 13 X의 $\rho_p K_A$ 值은 각각 0.080, 11.22, 및 2.32이다. 이 가운데 MS 3 A는 그 平均細孔經이 3 Å 이고 질소 分子의 分子徑(kinetic diameter)은 3.64 Å¹⁹⁾이므로 실제로는 마이크로細孔에서의 吸着은 생각할 수 없으나 이 작은 $\rho_p K_A$ 值은 마크로細孔에 露出되어 있는 Zeolite 結晶 表面에의 질소 吸着 또는 實驗 誤差로 생각된다.

4-2. 軸方向氣體分散係數 및 總括有効擴散係數

Wakao 等²⁰⁾에 依하면 粒內 擴散이 없는 경우 (유리球 等) 層流領域에서 軸方向氣體分散係數

는 레이놀즈數에 無關하고 一定한 値을 가진다. 뿐만 아니라 粒內擴散이 있는 경우에도 Kawazoe 等²¹⁾ 및 Kaguei 等¹⁰⁾은 同一한 結果를 얻고 있다. 따라서 Fig. 6 과 같이 어떤 誤差 범위内에서 N_{Re} 値을 變化시켜 가면서 $\varepsilon_b D_{ax}/D_v$ 와 D_e 를 plot 하고 그 중첩되는 領域에서 D_{ax} 및 그에 對應하는 D_e 値을 求할 수 있다. 즉, 層流 領域에서는 α 値은 一定한 値을 가지므로 이들 誤差 圖表의 중첩되는 점에서 D_{ax} 値이 決定되고, 따라서 D_e 도 定하여진다. Molecular sieves 種類에 따른 $\varepsilon_b D_{ax}/D_v$ 및 D_e 値을 Table 2 에 表示하였다. $\varepsilon_b D_{ax}/D_v$ 値을 比較해 볼 때 本 實驗 條件下에서는 D_{ax} 가 Molecular sieves 種類에 따라 거의 變化가 없음을 알 수 있다.

4-3. 모멘트法과의 比較

流速에 따른 1次 모멘트를 Fig. 7 에 나타내었다. 圖表의 기울기와 (13)式으로부터 求한 $\rho_F K_A$ 値은 Molecular sieves 3 A, 5 A, 및 13 X 에 對하여 각각 0.088, 11.65, 2.31 이며 Table 2 에서 時間域 解析에 依한 値과 比較해 볼 때 그

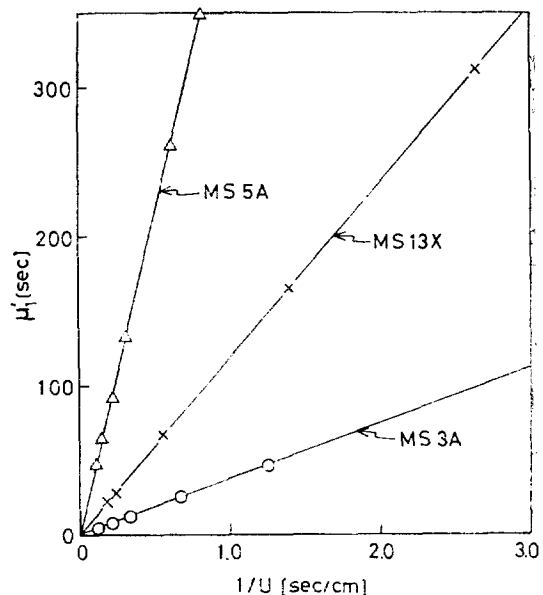


Fig. 7. First moment plots for molecular sieves

差는 모두 10% 以內로서 實驗誤差를 고려한다면 比較的 서로 一致하고 있음을 알 수 있다.

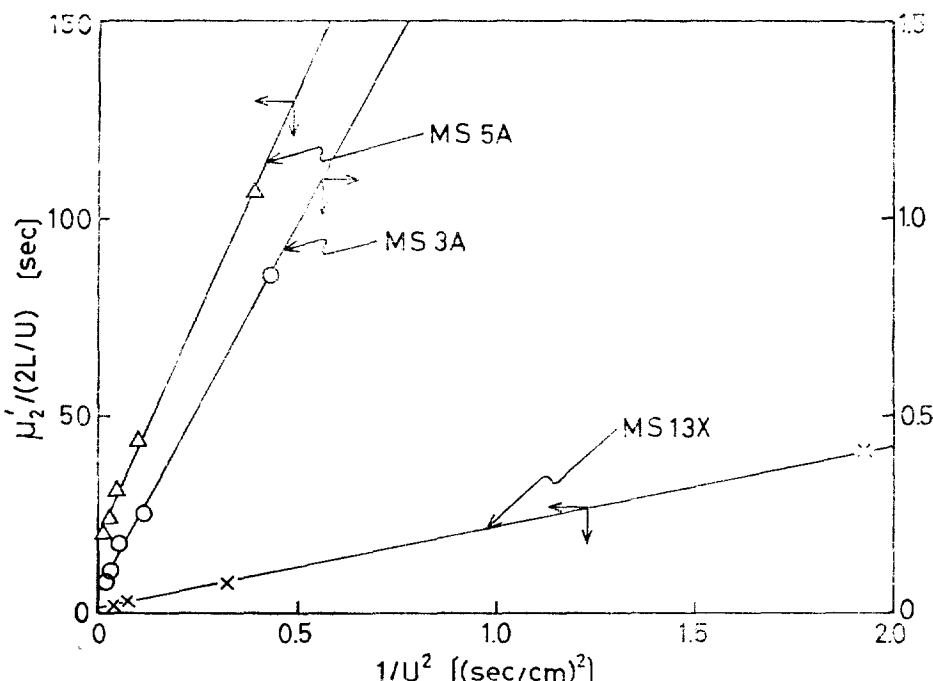


Fig. 8. Second central moment plots for molecular sieves

Table 2. Obtained data of $\rho_p K_A$, D_{ax} , and D_e

Molecular sieves	N_{Re}	Time domain analysis method			Moment method		
		$\rho_p K_A$	$\varepsilon_b D_{ax}/D_v$	D_e	$\rho_p K_A$	$\varepsilon_b D_{ax}/D_v$	D_e
3 A	0.05~0.51	0.080	0.27~0.33	0.004~0.01	0.088	0.35	0.0025
5 A	0.05~0.51	11.22	0.29~0.31	0.007~0.008	11.65	0.29	0.0087
13 X	0.02~0.33	2.32	0.29~0.32	0.006~0.007	2.31	0.33	0.0025

Table 3. Experimental Raw Data(MS 5A, N₂-H₂ System, $N_{Re}=0.20$)

No.	Input-Data		Output-Data		
	Time(sec)	Concentration(cm)*	No.	Time(sec)	Concentration(cm)**
1	0	0	1	0	0
2	1.0	0.61	2	70.0	0.0
3	2.0	6.21	3	72.0	0.02
4	3.0	14.60	4	75.0	0.05
5	4.0	18.30	5	80.0	0.09
6	5.0	17.35	6	85.0	0.17
7	6.0	14.20	7	90.0	0.31
8	7.0	10.65	8	95.0	0.58
9	8.0	7.60	9	100.0	0.93
10	9.0	5.22	10	105.0	1.41
11	10.0	3.55	11	110.0	1.92
12	11.0	2.43	12	115.0	2.41
13	12.0	1.64	13	120.0	2.91
14	13.0	1.14	14	125.0	3.28
15	14.0	0.79	15	130.0	3.53
16	15.0	0.53	16	135.0	3.59
17	16.0	0.38	17	140.0	3.50
18	17.0	0.29	18	145.0	3.28
19	18.0	0.22	19	150.0	2.98
20	19.0	0.17	20	155.0	2.59
21	20.0	0.13	21	160.0	2.19
22	21.0	0.09	22	165.0	1.77
23	22.0	0.08	23	170.0	1.41
24	24.0	0.05	24	180.0	0.85
25	26.0	0.02	25	190.0	0.47
26	28.0	0.02	26	200.0	0.24
27	30.0	0.01	27	210.0	0.12
28	32.0	0.00	28	220.0	0.03
29	33.5	0	29	225.0	0

* Recorder scale; 0.5mV/cm

** Recorder scale; 0.25mV/cm

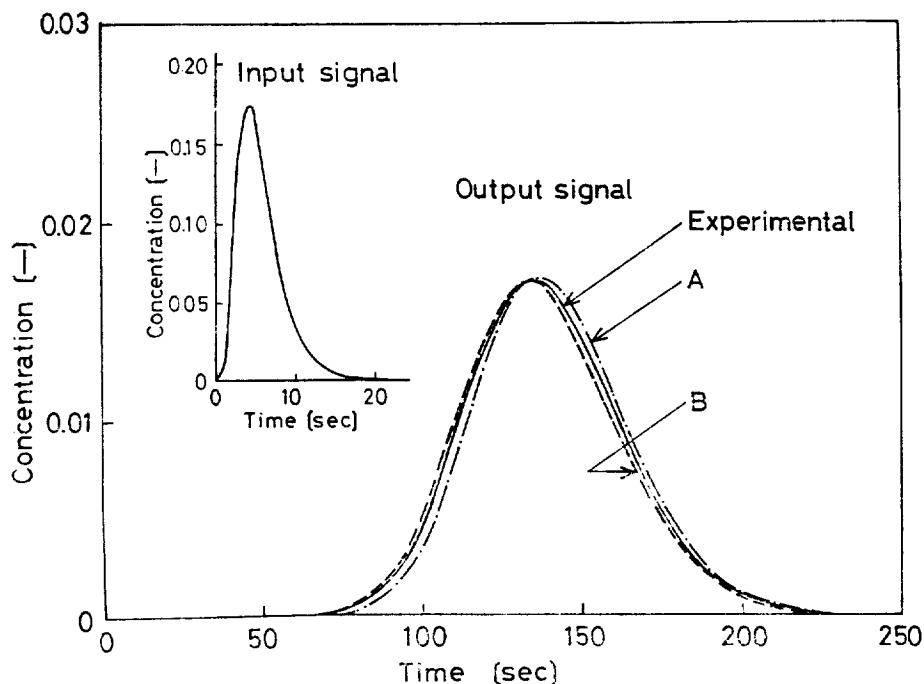


Fig. 9. Comparison of experimental and calculated curves
($N_{Re}=0.20$, A: moment method, B: time domain analysis)

Table 4. Description for Fig. 9

Symbol	Method	α	D_e	$\rho_p K_A$	Error (%)
A	Moment	0.29	0.0087	11.65	8
B	Time domain analysis	0.30	0.0075	11.22	6

Fig. 8 에서는 2 次 中央모멘트와 流速의 自乘 과의 關係를 表示하였으며 最小自乘法에 依해 式 (14)에서의 기울기인 $D_{ax}(1 + \delta_0)^2$ 와 절편 δ_1 을 求하였다. $\epsilon_b, \epsilon_p, \rho_p K_A$ 는 既知의 値이고 本 實驗 條件下에서 $k_a = \infty$, k_f 는 式(17)에서 計算되므로 이로부터 $\epsilon_b D_{ax}/D_v$ 및 D_e 가 決定되어 진다.

Table 2에서 보여주듯이 그 値들은 Molecular sieve 5 A 인 경우에는 時間域 解析에 依한 値과 서로 近似하였으나 3 A 와 13 X 의 경우에는 그 差가 比較的 크다. 그리고 1 次 모멘트에서 求한 $\rho_p K_A$ 的 差와 比較해 볼 때 2 次 모멘트에서 는 그 差가 더 커지는 경향을 보여 주고 있다. 一般的으로 高次 모멘트에서 誤差가 커지는 것은 n 次 모멘트가

$$\mu_n = \frac{\int_0^{\infty} Ct^n dt}{\int_0^{\infty} C dt} \quad (18)$$

으로 定義되므로 高次 모멘트로 갈수록 應答曲線의 末尾部分의 測定誤差가 擴大되는 것으로 알려져 있다.^{8,22)}

Molecular sieve 5 A, $N_2 - H_2$ 系 ($N_{Re}=0.20$)에 對한 入口 및 出口 濃度의 時間に 따른 Raw Data 는 Table 3 과 같으며 이 實驗 結果와 時間域 解析 및 모멘트法에 依한 出口 濃度의 理論値를 比較하여 나타낸 것이 Fig. 9 이다. Table 4에서 보여주는 바와 같이 時間域 解析 및 모멘트法에서 求한 應答曲線의 實驗值와의 差는 각각 6%, 및 8%로서 相互 약간의 差를 보여주고

있다.

5. 結 論

(1) Molecular sieves 의 질소 吸着 充填層에서 吸着平衡常數는 時間域 解析에 依하여 1 次의으로 求하여지며 軸方向氣體分散係數와 總括有効擴散係數는 레이놀즈數를 매개변수로 하여 plot 한 誤差曲線의 중첩되는 領域에서 그 值을 求할 수 있다.

(2) 時間域 解析法과 1 次모멘트에서 각各 求하여진 吸着平衡常數값은 相互 近似한 值을 가졌으나, 2 次 모멘트에서 求한 軸方向氣體分散係數와 總括有効擴散係數는 時間域 解析으로 求한 值들과 약간의 差異가 있으며 이것은 모멘트 算出 時 末尾 部分에서의 誤差의 擴大에 기인된 것으로 생각된다.

Nomenclatures

a_0, a_n, b_n	constants from Fourier series
c_a	adsorbate concentration, gmole/g
c_i	intraparticle concentration, gmole/cc
C	bulk concentration, gmole/cc
$\bar{C}(s)$	Laplace transform of C
C_D	concentration in dead volume where detector being inserted
$C_{\text{in}}, C_{\text{out}}$	bulk concentration of input and output, respectively, gmole/cc
D_{ax}	axial gas dispersion coefficient, cm^2/sec
D_e	overall effective diffusivity, cm^2/sec
D_v	molecular diffusivity, cm^2/sec
i	$\sqrt{-1}$
k_a	adsorption rate constant, cc/g sec
k_f	mass transfer coefficient, cm/sec
K_A	adsorption equilibrium constant, cc/g
L	length of test bed, cm
L_D	height of dead volume, cm
N	molar flux from gas to particle, gmole/ $\text{cm}^2 \text{ sec}$

N_{Re} Reynolds number, $2RU \epsilon_b/\nu$

N_{Sc} Schmidt number, ν/D_v

N_{sh} Sherwood number, $2k_f R/D_v$

r radial distance variable in a particle, cm

R radius of a particle, cm

s Laplace transform variable

t time, sec

T half-period of Fourier series, sec

U interstitial gas velocity, cm/sec

u gas velocity based on empty column, cm/sec

x axial distance variable, cm

Greek letters

α $\epsilon_b D_{ax}/D_v$

ϵ error between experimental and calculated response curves

ϵ_b bed void fraction

ϵ_p particle void fraction

μ_1 first moment

μ'_2 second central moment

μ_n nth order moment

ν kinematic viscosity, cm^2/sec

ρ_p particle density, g/cc

Superscripts

* Fourier constants in equations for calculated curve

* Fourier constants in equations for output experimental curve

Subscripts

calc data calculated

exp data experimentally measured

References

1. R. Chao and H.E. Hoelscher, A.I.Ch.E.J., 12(1966), 271.
2. P. Schneider and J.M. Smith, A.I.Ch.E.J., 14(1968), 762.

3. M. Suzuki and J.M. Smith, Chem. Eng.J., **3**(1972), 256.
4. K. Kawazoe, M. Suzuki and K. Chihara, Seisan-Kenkyu, **25**(1973), 558.
5. N. Hashimoto and J.M. Smith, Ind. Eng. Chem. Fundam., **12**(1973), 353.
6. K. Kawazoe, M. Suzuki and K. Chihara, J. Chem. Eng. Japan, **7**(1974), 151.
7. S.K. Gangwal, R.R. Hudgins and P.L. Silveston, Can. J. Chem. Eng., **56**(1978), 554.
8. N. Wakao and K. Tanaka, J. Chem. Eng. Japan, **6**(1973), 338.
9. N. Wakao, S. Kaguei and D.I.Lee, J. Chem. Eng. Japan, submitted (1980).
10. S. Kaguei, D.I. Lee and N. Wakao, Kagaku Kogaku Ronbunshu, **6**(1980), 397.
11. N. Wakao and T. Funazkri, Chem. Eng. Sci., **33**(1978), 1375.
12. K. Kawazoe and Y. Takeuchi, J. Chem. Eng. Japan, **7**(1974), 431.
13. S.K. Gangwal, R.R. Hudgins, A.W. Bryson and P.L. Silveston, Can. J. Chem. Eng., **49**(1971), 113.
14. N. Wakao, K. Tanaka and H. Nagai, Chem. Eng. Sci., **31**(1976), 1109.
15. K. Matsumoto, D.I. Lee, S. Kaguei and N. Wakao, Gas dispersion coefficients in adsorption packed beds, presented at 44th annual meeting, Japan Soc. Chem. Engrs., Tokyo, April (1979).
16. N. Wakao, Y. Iida and S. Tanisho, J. Chem. Eng. Japan, **7**(1974), 438.
17. S. Hamai and M. Mitani, Kagaku Kogaku, **34**(1970), 170.
18. K. Kawazoe, I. Sugiyama and Y. Fukuda, **30**(1966), 1007.
19. D.W. Breck, Zeolite Molecular Sieves, John Wiley & Sons, New York (1974), 636.
20. N. Wakao, Y. Iida and S. Tanisho, J. Chem. Eng. Japan, **6**(1974), 438.
21. K. Kawazoe and T. Kawai, Kagaku Kogaku **32** (1968), 1122.
22. N. Wakao and K. Tanaka, J. Chem. Eng. Japan, **7**(1974), 472.

